

**Examen - Couche limite turbulente**  
**Convection naturelle**

**Exercice 1:** Convection naturelle

15

Une paroi plane verticale de hauteur  $L$  est chauffée à flux uniforme ( $q_p$  constant). Dans ce cas, la température de paroi obéit à une loi de la forme :

$$T_p(x) - T_\infty = C x^{1/5}$$

- 0,5 1)- Déterminer la température moyenne sur toute la paroi sous la forme  $T_{pm} - T_\infty$ .  
1 2)- En déduire le coefficient d'échange moyen  $h_m$ , puis le coefficient d'échange local  $h_L$  en  $x=L$ .  
0,5 3)- Exprimer le coefficient d'échange moyen par convection libre,  $h_m$ , en fonction du coefficient d'échange local  $h_L$  défini au sommet de la paroi ( $x=L$ ).

On peut aussi prendre comme référence, non pas l'écart entre la température moyenne de paroi et la température ambiante  $T_\infty$  (soit  $T_{pm} - T_\infty$ ), mais en prenant comme référence l'écart entre la température au milieu de la paroi  $x=L/2$  et la température ambiante, soit  $T_p(L/2) - T_\infty$ . On obtient alors un coefficient d'échange moyen  $h_{L/2}$  basé sur ce dernier écart de température.

- 0,5 3)- Exprimer le coefficient d'échange moyen,  $h_{L/2}$ , en fonction du coefficient d'échange local  $h_L$ .  
0,5 4)- Comparer et dire comment varie le coefficient d'échange moyen (surestimé ou sous-évalué) lorsqu'on remplace  $h_m$  par  $h_{L/2}$  ? De combien (en %) ?

- 0,5 5)- Sachant que le nombre de Nusselt s'exprime sous la forme  $Nu_x = K x^{4/5}$ , effectuer la même comparaison pour le nombre de Nusselt moyen (comparaison entre  $Nu_m$  et  $Nu_{L/2}$ ). De combien est l'écart sur les deux Nusselt moyens (en %) ?

- 1 6)- A-t-on les mêmes comparaisons (en %) pour les coefficients d'échange et nombres de Nusselt ? Quel est l'écart (référence) réel à prendre en compte ? Sur  $h$  ou sur  $Nu$  ?

On rappelle la définition du coefficient d'échange local  $h_x = q_p / (T_p(x) - T_\infty)$ .

## EXERCICE 2: Couche limite:

Il existe au moins deux régions dans la couche limite. L'une loin de la paroi, est contrôlée par la turbulence: c'est la région externe. L'autre, près de la paroi, est dominée par la viscosité: c'est la région interne (ou région de paroi). Dans la région interne, le profil de vitesse adimensionnel  $U^+$  est une fonction de la variable  $y^+$  (loi de paroi):

$$U^+ = f(y^+), \quad \text{ou} \quad U^+ = \frac{U}{U_\tau} \quad \text{et} \quad y^+ = \frac{yU_\tau}{\nu}$$

Dans la région externe, le profil de vitesse adimensionnel dépend de la variable  $\eta$  (loi de vitesses déficitaire):

$$\frac{U_e - U}{U_\tau} = \Phi(\eta), \quad \text{ou} \quad \eta = \frac{y}{\delta}$$

$\delta$  est l'épaisseur de la couche limite. A la frontière  $y = \delta$ , on a  $U = U_e$ . La différence  $U_e - U$  représente le défaut de vitesses par rapport à la vitesse extérieure. Enfin,  $U_\tau$  est la vitesse de frottement ( $U_\tau = (\tau_p/\rho)^{1/2}$ ).

Dans ces deux régions, les comportements du profil de vitesse sont indépendants. Une telle approche n'est possible que s'il existe une région intermédiaire (région de recouvrement) dans laquelle le profil de vitesse obéit simultanément aux deux lois (la loi de paroi et la loi de vitesses déficitaire):

$$\frac{U}{U_\tau} = f\left(\frac{yU_\tau}{\delta}\right)$$
$$\frac{U_e - U}{U_\tau} = \Phi(\eta)$$

Une condition de validité de ce modèle est la possibilité de réaliser simultanément  $y^+ \rightarrow \infty$  et  $\eta \rightarrow 0$ .

1)- Montrer que le rapport  $\frac{y^+}{\eta}$  définit un nombre de Reynolds  $R_\tau$  basé sur la vitesse  $U_\tau$ . Vers quelle limite tend  $R_\tau$  quand  $y^+ \rightarrow \infty$  et  $\eta \rightarrow 0$  ?

Les variables  $\eta$  et  $y^+$  étant indépendantes, on montre que:

$$-\eta \frac{d\Phi}{d\eta} = y^+ \frac{df}{dy^+} = A, \quad \text{ou} \quad A \text{ est une constante}$$

2)- Retrouver, par intégration, respectivement la loi de paroi logarithmique et la loi de vitesses

déficitaire:

95

$$\frac{U}{U_\tau} = \frac{1}{\chi} \ln \left( \frac{y U_\tau}{\nu} \right) + C$$

95

$$\frac{U_e - U}{U_\tau} = -\frac{1}{\chi} \ln \left( \frac{y}{\delta} \right) + B$$

où  $\chi=0,41$  et  $C$  est une constante voisine de 5.

3)- En déduire l'expression du rapport des vitesses  $U_e/U_\tau$ .

4)- La relation  $U_e/U_\tau$  exprime en fait une loi pour le coefficient de frottement  $C_f$  ( $C_f =$

1

$\tau_p/(\rho U_e^2/2)$ ). Montrer que:

$$U_\tau = U_e \left( \frac{C_f}{a} \right)^b$$

où  $a$  et  $b$  sont des constantes à déterminer.

5)- En déduire alors la relation à laquelle obéit le coefficient de frottement  $C_f$  (utiliser les réponses des questions 3 et 4).

0,5

6)- Lorsque  $R_\tau \rightarrow \infty$ , trouver la limite de chacune des grandeurs suivantes:

0,25x3

$$\frac{U_\tau}{U_e}, \quad C_f \quad \text{et} \quad R_\delta = \frac{U_e \delta}{\nu}$$

7) Montrer que la loi de paroi logarithmique peut se mettre sous la forme:

1

$$\frac{U}{U_e} = \gamma \left[ \frac{1}{\chi} \ln \left( \frac{y U_e}{\nu} \right) + C \right]$$

où  $\gamma$  est une fonction de  $C_f$  à déterminer.

La loi logarithmique est souvent utilisée pour déterminer expérimentalement la valeur du frottement pariétal (ou de  $C_f$ ). En pratique, on trace le rapport  $\frac{U}{U_e}$  (expression théorique établie précédemment) en fonction de  $\frac{y U_e}{\nu}$ , pour différentes valeurs de  $C_f$ . Dans le réseau ainsi déterminé, l'une des courbes doit recouper d'assez près les données expérimentales. Elle donne la valeur du coefficient de frottement pariétal  $C_f$ . Sur la figure 2, on a tracé un réseau de courbes ainsi que le résultat expérimental.

195

8) Déterminer la valeur de  $C_f$  donnée par la courbe qui recoupe bien les données expérimentales.

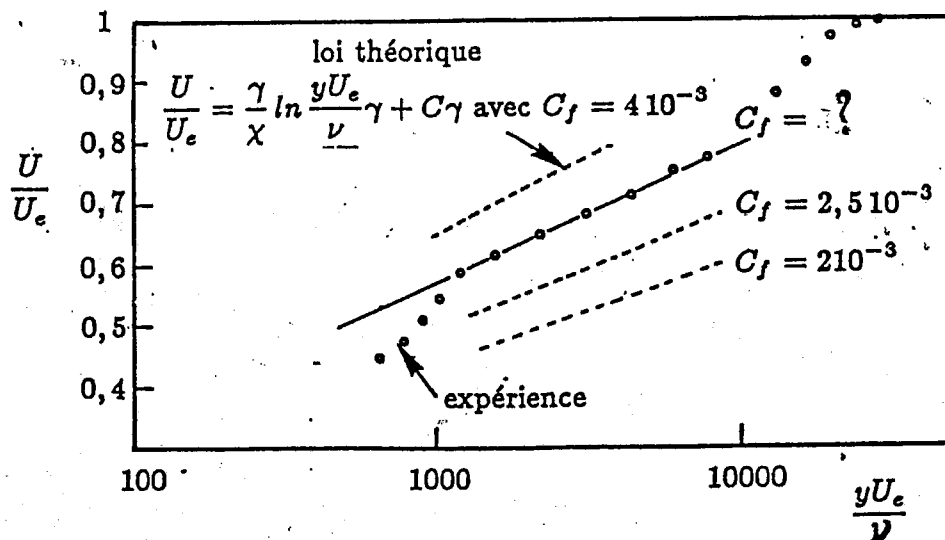


Fig. 2

### Exercice 3 : Écoulement turbulent dans une conduite

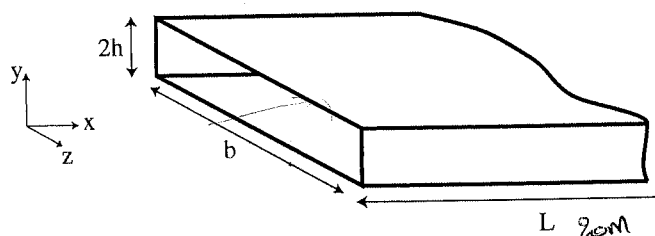


Figure 1: Géométrie de l'écoulement dans une conduite parallélépipédique.

On considère un écoulement d'eau dans une conduite de section parallélépipédique, de largeur  $b = 40$  cm et de hauteur  $2h = 4$  cm, généré par une différence de pression de  $\Delta p = 10^5$  Pa sur une longueur  $L = 20$  m (figure 1). On considère l'écoulement comme étant statistiquement stationnaire et invariant par translation selon  $x$ . De plus, avec  $b \gg h$ , on peut considérer le problème comme étant indépendant de  $z$ , et donc purement bi-dimensionnel, et l'on note  $(u_x, u_y)$  les composantes de la vitesse selon  $x$  et  $y$ .

On note  $\delta_v = \nu/u^*$  l'épaisseur de la sous-couche visqueuse, où  $u^*$  la vitesse de friction à la paroi (définie telle que  $\tau_0 = \rho u^{*2}$  est la contrainte à la paroi). On rappelle le profil de vitesse moyen dans la sous-couche inertielle ( $\delta_v \ll y \ll h$ ) :

$$\frac{\bar{u}_x(y)}{u^*} = \frac{1}{\kappa} \ln \frac{y}{\delta_v} + A \quad (1)$$

et dans la sous-couche visqueuse ( $y < \delta_v$ ) :

$$\frac{\bar{u}_x(y)}{u^*} = \frac{y}{\delta_v} \quad \bar{u} = u \quad (2)$$

$1/\kappa = 2,5$  est la constante de von Kármán, et  $A$  une constante sans dimension.

1. Dessiner l'allure du profil de vitesse entre les 2 plans  $y = 0$  et  $y = 2h$  dans le cas laminaire et dans le cas turbulent.

95

2. Rappeler à quoi correspondent la sous-couche visqueuse (SCV) et la sous-couche inertielle (SCI), en particulier du point de vue des mécanismes de transport de quantité de mouvement (1 schéma et quelques lignes de texte). Où la contrainte totale  $\tau(y)$  est-elle maximale ? où est-elle nulle ?
3. Rappeler l'expression de la contrainte à la paroi  $\tau_0$  en fonction de  $\Delta p$  et des dimensions de la conduite. Calculer  $\tau_0$ , et en déduire  $u^*$ ,  $\delta_v$  et le nombre de Reynolds turbulent  $Re^* = u^*h/\nu$  (on a  $\rho = 10^3 \text{ kg m}^{-3}$  et  $\nu = 10^{-6} \text{ m}^2 \text{ s}^{-1}$  pour de l'eau à  $20^\circ\text{C}$ ).

On s'intéresse aux statistiques des fluctuations turbulentes dans la sous-couche inertielle. A distance  $\delta_v \ll y \ll h$  fixée, et pour des structures turbulentes de taille  $r \ll y$ , on admet que l'on peut appliquer localement la théorie de Kolmogorov de la turbulence homogène en régime statistiquement stationnaire. Ainsi, on suppose qu'à chaque valeur de  $y$ , la puissance (par unité de masse) fournie par l'écoulement moyen aux fluctuations turbulentes,

$$\epsilon_i(y) = -\overline{u'_i u'_j} \frac{\partial \overline{u_i}}{\partial x_j}, \quad (3)$$

est équilibrée par la puissance dissipée par viscosité à cette même distance  $y$ ,

$$\epsilon_d(y) = \nu \overline{\left( \frac{\partial u'_i}{\partial x_j} \right)^2}. \quad (4)$$

4. Justifiez brièvement (1 schéma et quelques lignes) que le terme  $\epsilon_i$  est positif.
5. Dans la sous-couche inertielle ( $\delta_v \ll y \ll h$ ), quelle est la taille des structures turbulentes contribuant le plus aux transferts d'énergie ? En admettant que les fluctuations de vitesse dans cette région soient de l'ordre de  $u^*$  et indépendantes de  $y$ , déduire de (1) et (3) l'ordre de grandeur de  $\epsilon_i(y)$  en fonction de  $u^*$ ,  $y$  et  $\kappa$ . Où l'écoulement moyen produit-il le plus de fluctuations turbulentes ?
6. Dans la sous-couche visqueuse, la dissipation d'énergie par viscosité est simplement donnée par la loi valable pour les écoulements laminares,

$$\epsilon_v = \nu \overline{\left( \frac{\partial \overline{u_i}}{\partial x_j} \right)^2}. \quad (5)$$

Calculer  $\epsilon_v$  pour  $y < \delta_v$ , et vérifier que cette loi raccorde bien avec  $\epsilon_i(y)$  obtenue précédemment pour  $y \rightarrow \delta_v$ . Tracer l'allure de la dissipation en fonction de  $y$ , en faisant bien apparaître cette transition entre SCI et SCV.

7. En supposant les fluctuations de vitesse  $v'_r$  à une échelle  $r$  (avec  $r \ll y$ ) données par la loi de Kolmogorov  $v'_r \simeq C(\epsilon_i r)^{1/3}$ , en déduire  $v'_r/u^*$  en fonction de  $r/y$ .
8. A partir de l'expression (4), exprimer la vitesse caractéristique  $v'_\eta(y)$  des plus petits tourbillons à une distance  $y$  de la paroi en fonction de  $y$  et de l'échelle de Kolmogorov locale  $\eta(y)$ . En déduire que cette échelle de Kolmogorov locale varie comme

$$\eta(y) \propto h Re^{*-3/4} \left( \frac{y}{h} \right)^{1/4}.$$

Calculer l'ordre de grandeur de cette échelle pour  $y = h$  (application numérique). Que devient  $\eta(y)$  pour  $y \rightarrow \delta_v$  ?